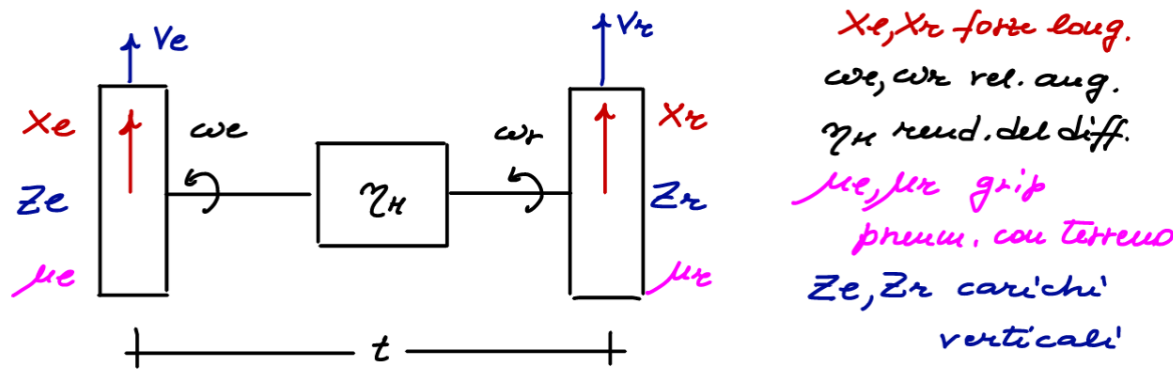


Test Rig (Differenziale)

Test Rig

Analizziamo il caso del virtual test rig



V_e, V_r sono le velocità longitudinali dei centri impennata di ruota left e right

Sulla base delle definizioni di slip si ha:

$$w_e = w_{21} = \frac{Vx_{21}}{(1 + \sigma_{x_{21}}) r_e} \quad e \quad w_r = w_{22} = \frac{Vx_{22}}{(1 + \sigma_{x_{22}}) r_e}$$

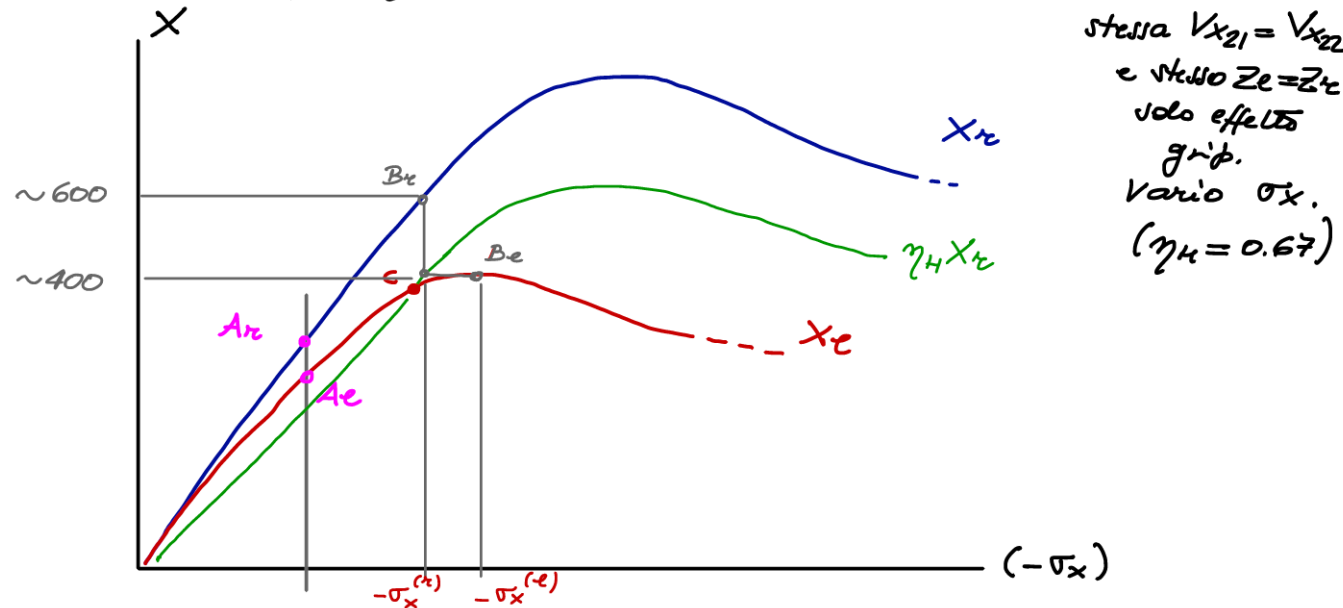
(power on: $\sigma_{x_{2j}} < 0$)

- Efficienza meccanica η_h
- Velocità longitudinale delle ruote V_l e V_r
- Carichi verticali Z_l e Z_r
- Coefficienti di grip μ_l e μ_r
- Scorrimenti laterali σ_y di entrambe le ruote
- Scorrimento longitudinale σ_x della ruota sinistra
- Differenziale Torsen

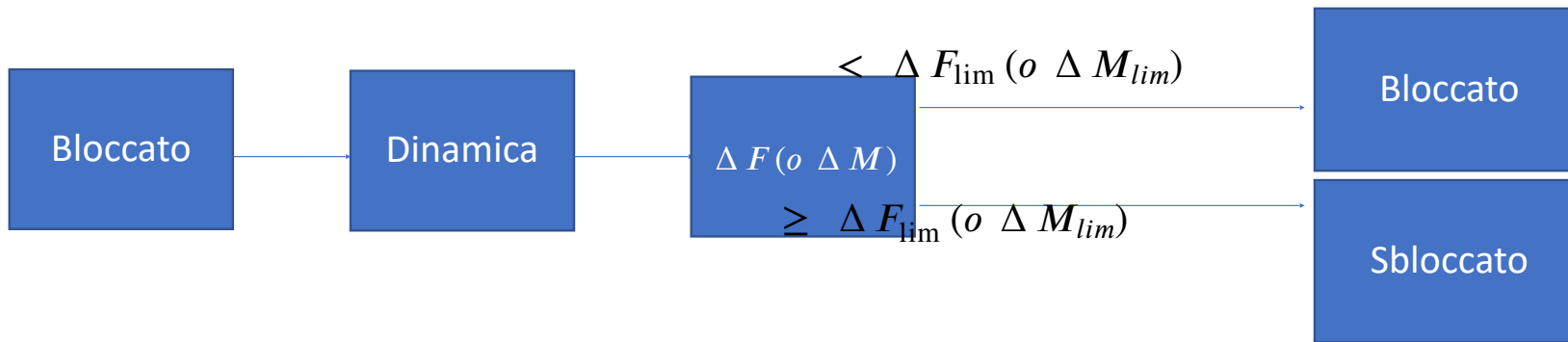
Caso 1: Diverso grip (Torsen)

Caso 1: auto va dritta ($V_e = V_r$), stesso carico verticale ($Z_e = Z_r$)
ma $\mu_e \neq \mu_r$ ($\mu_e < \mu_r$)

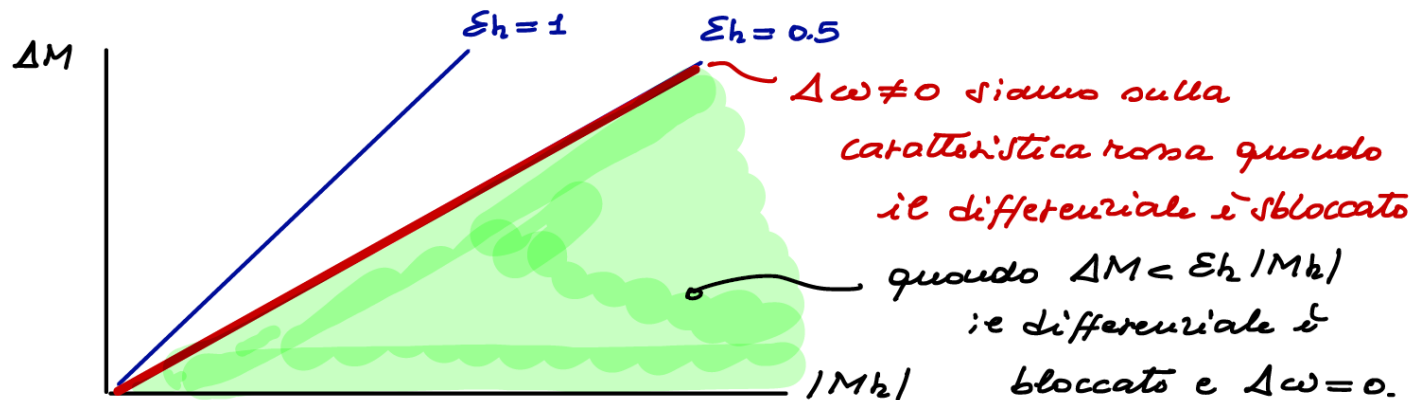
Dato che $\mu_r > \mu_e$ avremo andamenti delle caratt così:



Schema logico



Qui si ha caratteristica lineare $\Delta M = \varepsilon_h / M_h$.

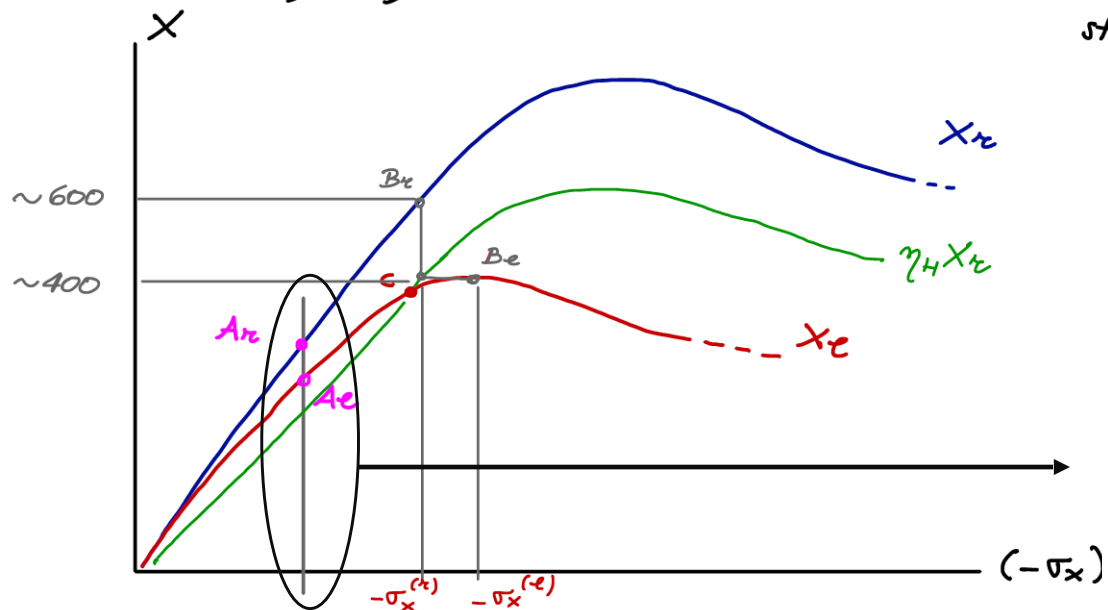


Caso 1: Diverso grip (Torsen)

Caso 1: auto va diritta ($V_e = V_r$), stesso carico verticale ($Z_e = Z_r$)

ma $\mu_e \neq \mu_r$ ($\mu_e < \mu_r$)

Dato che $\mu_r > \mu_e$ avrò andamenti delle caratti così:



stessa $V_{x21} = V_{x22}$
e stesso $Z_e = Z_r$
solo effetto
grip.
vario σ_x .
($\eta_4 = 0.67$)

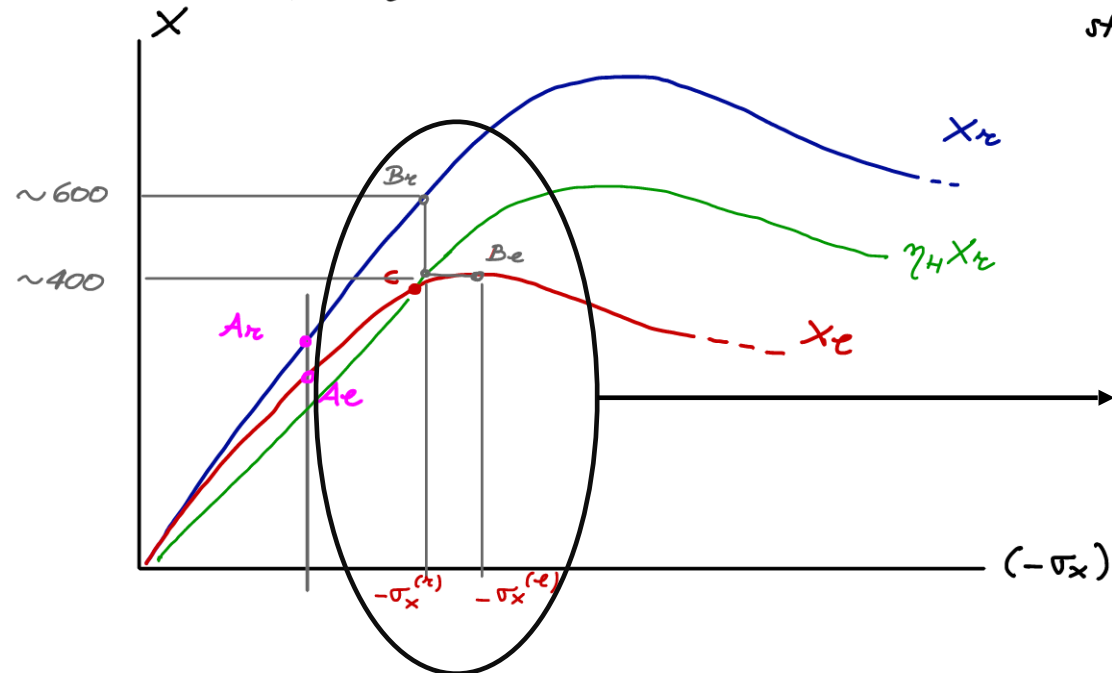
- per piccoli $(-\sigma_x)$ (piccola forza longitudinale) ($\eta_4 X_r < X_e < \frac{1}{\eta_4} X_r$) le forze sono quasi uguali. Non ci si fa avanti una diff. di forze lungo che si ha nel rapporto di η_4 . Quindi diff. bloccata. Allora con stesso $c_{w21} = c_{w22} = \text{stesse } V_{x21} = V_{x22}$ allora anche $-\sigma_{x21} = -\sigma_{x22}$ sono uguali. Quindi punto di fermo su strada $-\sigma_x$ sono A_e e A_r .

Caso 1: Diverso grip (Torsen)

Caso 1: auto va diritta ($V_e = V_r$), stesso carico verticale ($Z_e = Z_r$)

ma $\mu_e \neq \mu_r$ ($\mu_e < \mu_r$)

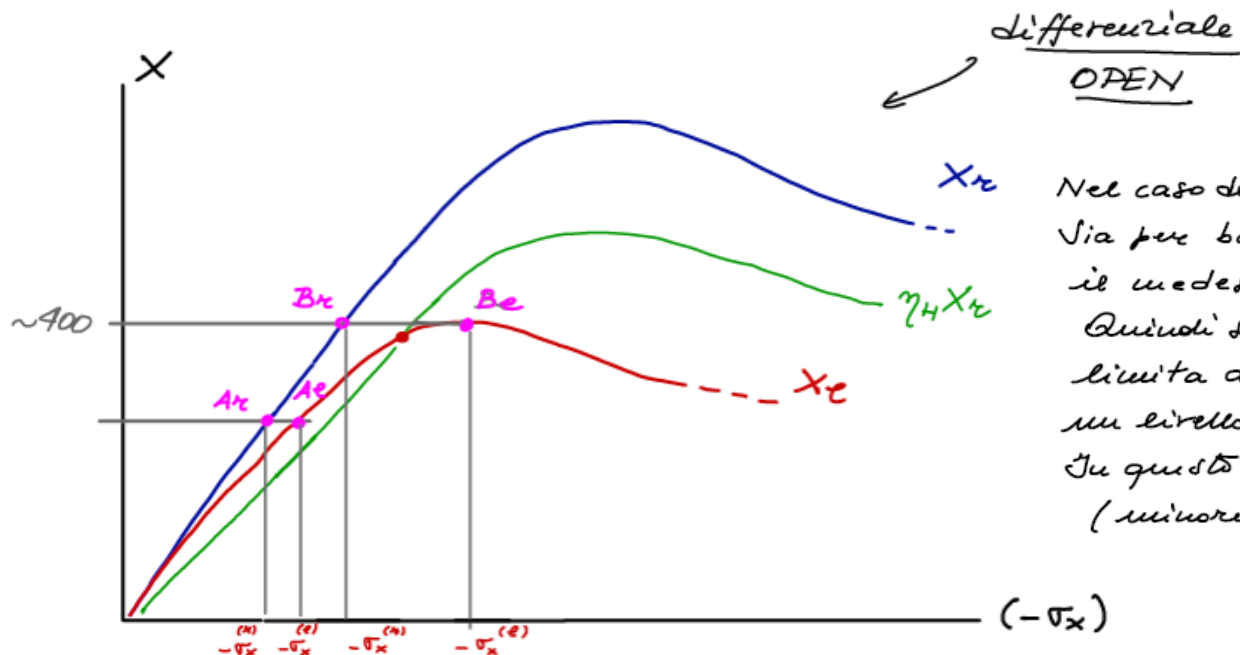
Dato che $\mu_r > \mu_e$ avrò andamenti delle caratti così:



stessa $V_{x_{21}} = V_{x_{22}}$
e stesso $Z_e = Z_r$
solo effetto
grip.
vario σ_x .
($\eta_4 = 0.67$)

-) quando $(-\sigma_x)$ cresce e appena X_e interseca $\eta_4 X_r$ nel crossing point C allora risulta la condizione che $X_e = \eta_4 X_r$ (qui dalle curve sarebbe $X_e < \eta_4 X_r$) Li si ha lo sbloccaggio del differenziale. Perché $X_e = \eta_4 X_r$ i punti di lavoro debbono essere $B_e < B_r$. L'essendo $\omega_{21} > \omega_{22}$ allora $-\sigma_x^{(e)} > -\sigma_x^{(r)}$ e quindi la forza complessiva risulta la somma di $400N + 600N \approx 1000N$.

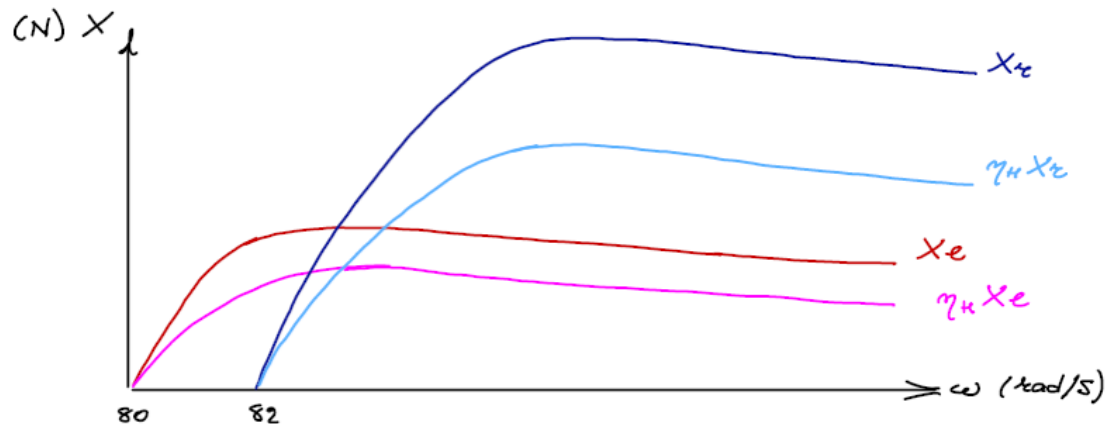
Caso 1: Diverso grip (Open)



differenziale
OPEN

Nel caso del diff. open si ha sempre che $X_r = X_e$.
Sia per belli che per altri ($-\sigma_x$) le ruote lavorano con il medesimo livello di forza longitudinale.
Quindi si vede bene che la ruota con grip minore limita anche quella che, con diff. LSD, potrebbe fornire un livello di forza longitudinale maggiore.
In questo caso somme di $400\text{ N} + 400\text{ N} = 800\text{ N}$
(minore che nel caso precedente con 1000 N)

Caso 2: Curva a sinistra (Torsen)



Caso 2 : simuliamo una curva a sinistra,

Quindi $V_e < V_r$ e $Z_e < Z_r$ (maggiore carico su ruota destra.)

Consideriamo stessa grip (per non introdurre elementi di disturbo) $\mu_e = \mu_r = \mu = 1.0$.

Tutti i dati numerici sono lasciati costanti mentre si fa aumentare il $-v_x$ della ruota sinistra per simulare differenti condizioni power-on.

In realtà risulta più intuitivo riportare le due forze longitudinali non in funzione di $-v_x$ ma delle rispettive ω . Quindi si pone:

$$X_e = X_e(\omega_e, \mu, Z_e) \quad e \quad X_r = X_r(\omega_r, \mu, Z_r)$$

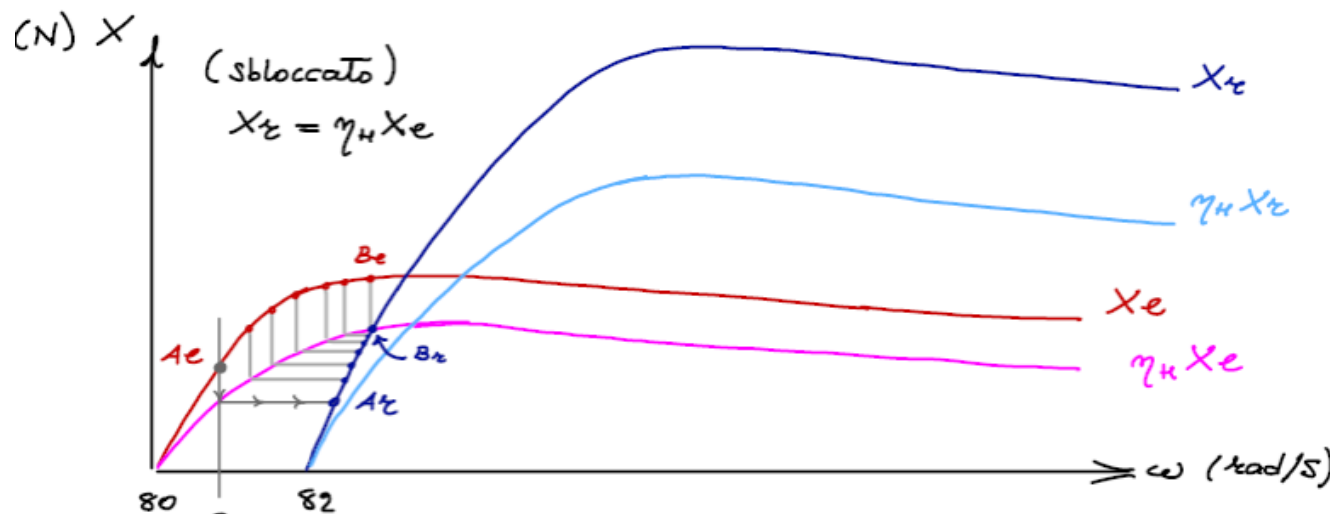
$$\text{Data che } \omega_e = \frac{V_e}{(1 + \tau_e) \tau_r} \quad e \quad \omega_r = \frac{V_r}{(1 + \tau_r) \tau_e}$$

con $V_e < V_r$ allora ω_e parte da 80 rad/s mentre ω_r parte da 82 rad/s. ($\tau_e = \tau_r = 0$ al puro rotolamento)

Si riportano quindi i grafici di X_e e X_r .

Per comodità si riportano anche $\eta_H X_e$ e $\eta_H X_r$.

Caso 2: Curva a sinistra (Torsen)



entro ipotizzando questo valore di ω_e . Per tale valore $\gamma_H X_e = X_e$ con un $\omega_e > \omega_e$. Questo è coerente col fatto che la ruota che gira con ω più bassa ha sempre la forza longitudinale più positiva di quella con ω più alta. Infatti la left lavora ad A_e mentre la right lavora a A_r .

In questo caso il differenziale è materialmente sbloccato.

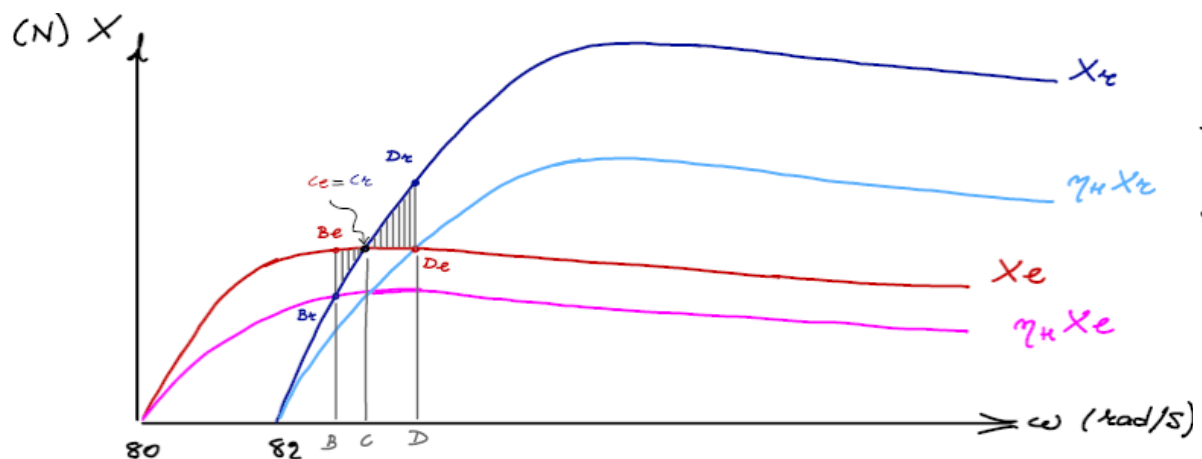
Questa situazione si mantiene per tutte le coppie diseguali.

Questi sono caratterizzati dall'esistenza della condizione per cui

$$X_e = \gamma_H X_e \quad (\text{ruota interna più lenta a cui è associata una maggiore forza longit. di trazione})$$

Caso 2: Curva a sinistra (Torsen)

Queste condizioni si riscontrano in coppia (B_e, B_r) in cui $\omega_e = \omega_r$.



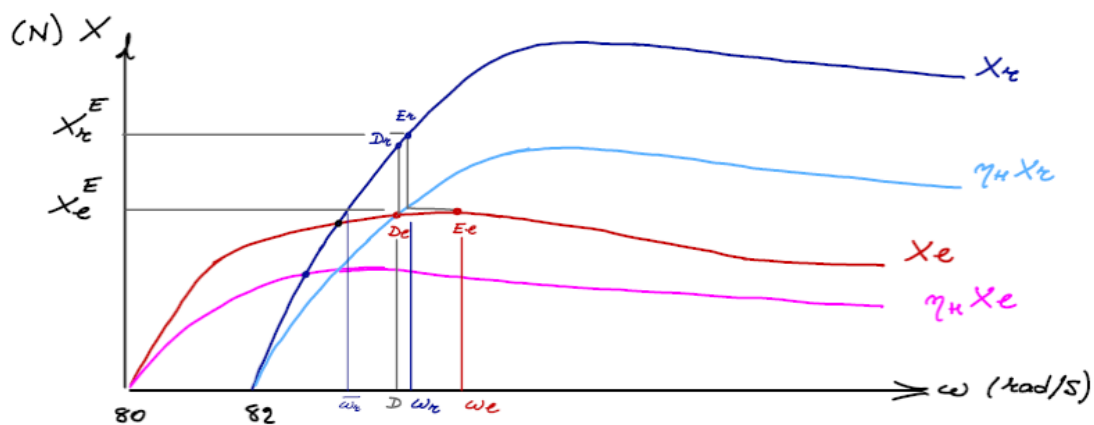
Quindi in questo range di funzionamento (a cavallo di $c_e = c_r$) ed in particolare fra (B_e, B_r) e (D_r, D_e) la diff. di forze normale è sufficiente a sbloccare lo differenziale che risulta bloccato con $\omega_e = \omega_r$ e le forze che risultano:

- $x_e > X_r$ in $[B, C]$
- $x_e = X_r$ in C
- $x_e < X_r$ in $(C, D]$

In tutto questo range di funzionamento si ha che:

$X_r > \eta_h X_r$ e $x_e > \eta_h X_r$ ovia riordinando:

Caso 2: Curva a sinistra (Torsen)



Oltre D succede che esiste la condizione $X_r > \gamma_u X_e$ (la curva X_r è bene sopra $\gamma_u X_e$) ma non è più vera la condizione $X_e > \gamma_u X_r$, ovvero $X_r < \frac{1}{\gamma_u} X_e$. Infatti si avrebbe: $X_e < \gamma_u X_r$.

Quindi il differenziale risulta sbloccato. Le forze stanno nel rapporto

$$X_e = \gamma_u X_r \quad \text{con} \quad \omega_r < \omega_e.$$

$$(X_e < X_r)$$

In effetti succede che la ruota esterna (destra) a causa del grande trasferimento di carico ha la ruota lenta $\omega_r < \omega_e$.

Quindi ha la forza di trazione maggiore fra le due $X_r > X_e$.